



Print ISSN: 2251-7480
Online ISSN: 2251-7400

Journal of
Water and Soil
Resources Conservation
(WSRCJ)

Web site:
<https://wsrcj.srbiau.ac.ir>

Email:
iauwsrjc@srbiau.ac.ir
iauwsrjc@gmail.com

**Vol. 13
No. 4 (52)**

Received:
2023-05-12

Accepted:
2023-07-18

Pages: 11-25



Investigating the Effect of Land Use Changes on the Distribution of Dam Reservoir Sediment (Case Study: Lasak Dam) Using the HEC-RAS Model

Saeid Rashedi¹, Seyd Abaa Hisseini², Sara Nazif³ and Bagher Ghermez Cheshmeh⁴

- 1) PhD student, Department of Civil Engineering, Science and Research Branch, Islamic Azad University, Tehran, Iran.
2) Associate Professor, Department of Civil Engineering, Science and Research Branch, Islamic Azad University, Tehran, Iran.
3) Associate Professor, Department of Water Engineering, University of Tehran.
4) Assistant Professor, Research Institute of Soil Protection and Watershed Management.
* Corresponding author email: abbas_hoseyni@srbiau.ac.ir

Abstract:

Introduction: In the last few decades, due to the growth of industries, drastic changes have occurred in the climate of the planet, and its average temperature has increased significantly. Land use changes and climate have had a great impact on discharge and sediment production in watershed. The increase in the production of sediments has many harmful environmental and constructional effects; among these effects we can mention the reduction of the useful depth of the dam and consequently the reduction of the life of the dam. The purpose of this study is to investigate the process of sedimentation along the Mubarakabad River (Emamzadeh Ebrahim watershed) and the effect of time on the increase in the sedimentation depth of the Lasak dam reservoir located in Guilan province using the HEC-RAS model in different states for the time range of 1997 to 2071.

Methods: Mubarakabad River is one of the main branches of Pasikhan River, which is the most important river supplying water to Anzali wetland. This watershed has various uses, including forest, degraded pasture, medium pasture and good quality pasture, residential, paddy field, etc. To carry out this study, land use changes in the years 1997, 2007, 2020, 2040 and 2071 were used. In order to measure the runoff, sediment and flow rate in the coming years (2022 and 2071) with the help of the LARS-WG statistical model in two scenarios (RCP 4.5 and RCP 8.5) and SWAT tool was investigated. To implement the HEC-RAS model, three models of surface reduction were used: Borland and Miller's method, Moody's surface reduction method and surface increase method. The input variables of the model are loaded in three sections: topographic map, discharge information, discharge-sediment, and sediment grading. The model was calibrated using discharge and sediment data during the study period. In this study, changes in sedimentation along the Mubarakabad River from upstream to the construction site of Lasak Dam were investigated. Also, the sedimentation depth of the dam reservoir was investigated in different years using the HEC-RAS model.

Results: The simulation results of this study showed that with passing of time, the percentage of residential areas will increase significantly and the area of pastures located in the southern part of the basin will decrease. Currently, in this basin, the total area of 1.87 km² has been allocated to the residential sector, which includes several villages. While in 2071, this amount will reach 21.45 km². Also, pastures with dense coverage in this basin in 1997 were equal to 99.65 km², and in 2071 this amount will decrease to 4.82 km². The results of this study showed that from the source to the construction site of the dam, sediment deposition has increased due to the reduction of the slope, and the largest amount of sediments have accumulated in the reservoir of the dam. It was also observed that with passing time, the depth of sediments behind the dam reservoir has increased significantly, which reduces the efficiency of the dam. The results of this study showed that there is an increasing trend in the sedimentation depth of the reservoir, so that its maximum value was obtained in 2071, equivalent to 39.1 meters from the height of the dam intake. The results of this study show that in the years 2071 and 2040, 2.02 and 1.92 million tons of sediment will settle in the Lasak dam reservoir, respectively.

Conclusion: According to the results obtained from the HEC-RAS model simulation in the Emamzadeh Ebrahim watershed, it can be seen that if detailed and executive planning is not done in this area, land use change will occur severely. This change of uses causes the increase of soil erosion and production of sediment in the watershed, in other words, this change of uses can be considered as an alarm for the destruction of Anzali Wetland. In general, due to the conditions of the watershed and its high erosion upstream, the life of the Lasak dam will not be long, and its construction will reduce the water rights of the Anzali wetland and lead this international wetland to complete destruction at a faster rate.

Keywords: Level rise, Sediment, Lasak dam, HEC-RAS model, Sediment rating curves



10.30495/WSRCJ.2023.73193.11376



شایا چاپی: ۲۲۵۱-۷۴۸۰
شایا الکترونیکی: ۲۲۵۰-۷۴۰۰
abbas_hoseyni@srbiau.ac.ir

بررسی اثر تغییرات کاربری اراضی بر توزیع رسوب مخزن سد HEC-RAS (مطالعه موردي سد لاسک) با استفاده از مدل

سعید راشدی^۱, سید عباس حسینی^{۲*}, سارا نظیف^۳ و باقر قرمز چشم^۴

^۱ دانشجوی دکتری، گروه مدیریت ساخت و آب، دانشگاه آزاد اسلامی، واحد علوم تحقیقات، تهران، ایران.

^۲ دانشجوی دکторی، گروه مدیریت ساخت و آب، دانشگاه آزاد اسلامی، واحد علوم تحقیقات، تهران، ایران.

^۳ دانشیار، گروه مهندسی آب- دانشگاه تهران.

^۴ استادیار پژوهشی- پژوهشکده حفاظت خاک و آبخیزداری.

*ایمیل نویسنده مسئول: abbas_hoseyni@srbiau.ac.ir

چکیده:

زمینه و هدف: در چند دهه اخیر به دلیل رشد صنایع تغییرات شدیدی در اقلیم کره زمین رخ داده است و دمای متوسط آن افزایش قابل توجهی داشته است. تغییرات کاربری اراضی و اقلیم تاثیر بسیار زیادی بر روی دبی و تولید رسوب در حوضه‌ها داشته است. افزایش تولید رسوبات اثرات زیان بار زیست محیطی و عمرانی زیادی به همراه دارد، از جمله این اثرات می‌توان به کاهش عمق مفید سد و به تبع آن کاهش عمر سد اشاره کرد. هدف از انجام این مطالعه بررسی روند رسوب‌گذاری در طول مسیر رودخانه مبارک‌آباد (حوضه امام‌زاده ابراهیم) و اثر زمان بر افزایش عمق رسوب مخزن سد لاسک واقع در استان گیلان با استفاده از مدل HEC-RAS در حالت‌های مختلف برای دامنه زمانی سال‌های ۱۳۷۶ تا ۱۴۵۰ است.

روش پژوهش: رودخانه مبارک‌آباد یکی از شاخه‌های اصلی رودخانه پسیخان است که مهمترین رودخانه تامین کننده آب تلاab از نظر این حوضه دارای کاربری‌های متنوع از جمله جنگل، مرتع تخریب شده، مرتع متوسط و مرتع با کیفیت خوب، مسکونی، شالیزار و ... می‌باشد. برای انجام این مطالعه از تغییرات کاربری اراضی در سال‌های ۱۳۷۶، ۱۴۱۹، ۱۳۹۹، ۱۳۸۶ و ۱۴۵۰ استفاده شد. برای سنجش رواناب، رسوب و دبی در سال‌های آینده (سال‌های ۱۴۱۹ و ۱۴۵۰) با کمک مدل آماری LARS-WG در دو سنتاریو (RCP 4.5 و RCP 8.5) و ابزار SWAT مورد بررسی قرار گرفت. برای اجرای مدل HEC-RAS از سه الگوی کاهش سطح به روشن بولند و میلر، روشن کاهش سطح مودی و روشن افزایش سطح استفاده شد. متغیرهای ورودی مدل در سه بخش نقشه توپوگرافی، اطلاعات دبی، دبی-رسوب و همچنین دانبه‌ندی رسوبات بارگذاری می‌شود. واسنجی مدل با استفاده از اطلاعات دبی و رسوب در طول دوره موردنی مطالعه انجام شد. در این مطالعه تغییرات رسوب‌گذاری در طول رودخانه مبارک‌آباد از سرچشمه تا محل احداث سد لاسک بررسی شد. همچنین عمق رسوب مخزن سد در سال‌های مختلف با استفاده مدل HEC-RAS مورد بررسی قرار گرفت.

یافته‌ها: نتایج شبیه‌سازی این مطالعه نشان داد که با گذر زمان درصد مناطق مسکونی افزایش چشمگیری خواهد یافت و از مساحت مراتع که در بخش جنوبی حوضه قرار دارند کاسته می‌شود. در حال حاضر در این حوضه $1/187$ کیلومتر مربع مساحت کل به بخش مسکونی که شامل چند روستا است اختصاص یافته است. در حالی که در سال ۱۴۵۰ این مقدار به $21/45$ کیلومتر مربع خواهد رسید. همچنین مراتع با پوشش مترکم در این حوضه در سال ۱۳۷۶ معادل $99/65$ کیلومتر مربع بوده است که در سال ۱۴۵۰ این مقدار به $4/82$ کیلومتر مربع کاهش خواهد یافت. نتایج این مطالعه نشان داد که از سرچشمه تا محل احداث سد رسوب‌گذاری به دلیل کاهش شیب افزایش یافته است و بیشترین مقدار رسوبات در مخزن سد تجمع یافته‌اند. همچنین مشاهده شد که با گذر زمان عمق رسوبات پشت مخزن سد افزایش چشمگیری یافته است که باعث کاهش کارایی سد می‌شود. نتایج این مطالعه نشان داد که روند افزایشی در عمق رسوب مخزن وجود دارد، به نحوی که بیشترین مقدار آن در سال $1450/1$ معادل $39/1$ متر از ارتفاع آبگیری سد به دست آمده است. نتایج این مطالعه نشان می‌دهد که در سال‌های 1419 و 1450 به ترتیب $20/2$ و $1/92$ میلیون تن رسوب در مخزن سد لاسک تنشست خواهد کرد.

نتایج: با توجه به نتایج به دست آمده از شبیه‌سازی مدل HEC-RAS در حوضه امام‌زاده ابراهیم مشاهده می‌شود در صورتی که برنامه‌ریزی دقیق و اجرایی در این منطقه صورت نگیرد، تغییر کاربری اراضی به شدت رخ خواهد داد. این تغییر کاربری‌ها سبب افزایش فرسایش خاک و تولید رسوب در حوضه می‌شود. به عبارتی می‌توان از این تغییر کاربری‌ها به عنوان زنگ خطری برای نابودی تلاab از نظری یاد کرد. به طور کلی با توجه به شرایط حوضه و فرسایش زیاد آن در بالادست عمر سد لاسک زیاد نخواهد بود و احداث آن سبب کاهش حق‌آبه تلاab از نظری می‌شود و این تلاab بین‌المللی را با سرعت بیشتری به سمت نابودی کامل می‌کشاند.

کلیدواژه‌ها: افزایش سطح، رسوب، سد لاسک، مدل HEC-RAS، منحنی سنجه رسوب

نشریه حفاظت منابع آب و خاک

آدرس تارنما:

<https://wsrjc.srbiau.ac.ir>

پست الکترونیک:

iauwsrjc@srbiau.ac.ir

iauwsrjc@gmail.com

سال سیزدهم

شماره ۴ (۵۲)

تاریخ دریافت:

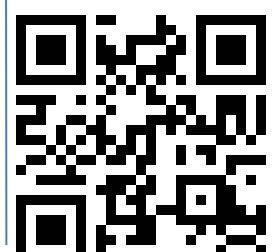
۱۴۰۲/۰۲/۲۲

تاریخ پذیرش:

۱۴۰۲/۰۴/۲۷

صفحات:

۱۱-۲۵



مقدمه

را با استفاده از نرم‌افزار HEC-RAS 4.0 تخمین زندن و پس از واسنجی و اجرای مدل میزان بار رسوب ورودی به مخزن سد گتوند علیا را برابر ۵۶۳۰۰۰ تن در سال برآورد کردند. نتایج آن‌ها نشان داد پس از گذشت ۱۰۰ سال، ۴۹۸ میلیون تن و با توجه به ضریب تلهاندازی ۹۰ درصد، حجم کل رسوب در مخزن انباشته شده که معادل با ۱۴/۹۵ درصد از حجم کل مخزن سد است (Farshadi and Shafaei Bejestan, 2010). دیسارت^۴ و همکاران از مدل HEC-RAS به شبیه‌سازی تاثیر بلند مدت رسوب‌گذاری و فرسایش بر روی پروفیل سطح آب در رودخانه نر (Ner) واقع در کشور لهستان پرداختند. آن‌ها از روابط مییر-پیتر و مولر و انگلوند-هانسن برای محاسبه میزان انتقال رسوب استفاده کردند. بر اساس نتایج به دست آمده، این پژوهشگران بیان کردند که مدل مذکور می‌تواند ابزار مناسبی برای پیش‌بینی تاثیرات بلند مدت رسوب و فرسایش بر روی پروفیل‌های سطح آب ارایه کند (Dysarz et al., 2017).

همکاران اثر تغییر کاربری اراضی را بر پاسخ‌های هیدرولوژیک حوضه آبخیز زنجان رود با استفاده از مدل SWAT بررسی نمودند. این پژوهشگران برای شبیه‌سازی مدل SWAT از داده‌های روزانه و ماهانه دبی و بارش استفاده نمودند. نتایج این پژوهشگران نشان داد که تغییر در کاربری اراضی از سال ۱۳۴۶ تا ۱۳۸۶ منجر به افزایش مقدار رواناب سطحی در حدود ۳۳ درصد و کاهش سطح سفره آب‌های زیرزمینی در حدود ۲۲ درصد شده است (Ghafari et al., 2010).

استفاده از تلفیق مدل HEC-RAS و مدل SWAT به بررسی رسوب‌گذاری مخزن سد کوما واقع در حوضه رودخانه آوش در آنتوپی پرداختند. نتایج آن‌ها نشان داد که استفاده از تلفیق دو مدل مذکور با ضریب تبیین ۰/۸۵ و ۰/۶۷ و همچنین با داشتن ضرایب نش-ساتکلیف برابر با ۰/۹۰ و ۰/۶۲ به ترتیب برای شبیه‌سازی روزانه دبی و رسوب دارای کارایی مناسب است (Tadesse and Dai, 2019).

HEC-RAS را برای برآورد انتقال بار رسوب در رودخانه ماموی (Ohio) که از این رودخانه برای کشتیرانی استفاده می‌شود به کار بردن. نتایج مدل در پیش‌بینی تغییرات بستر و همچنین قسمت‌هایی از رودخانه نشان داد که مدل توانایی خوبی در مدل‌سازی رسوب دارد (Joshi et al., 2019).

سد لاسک یکی از سازه‌های ایجاد شده بر روی رودخانه پسیخان است. رودخانه پسیخان دارای سه زیرحوضه به نام علیسر، مبارک‌آباد و نوخلاله است. رودخانه پسیخان به عنوان پر آب‌ترین رودخانه ورودی تالاب محسوب می‌گردد. به عبارتی این رودخانه شاهرگ اصلی تامین آب تالاب ارزلی است، بنابراین این رودخانه از اهمیت ملی و بین‌المللی برخوردار است. اسدی دبی

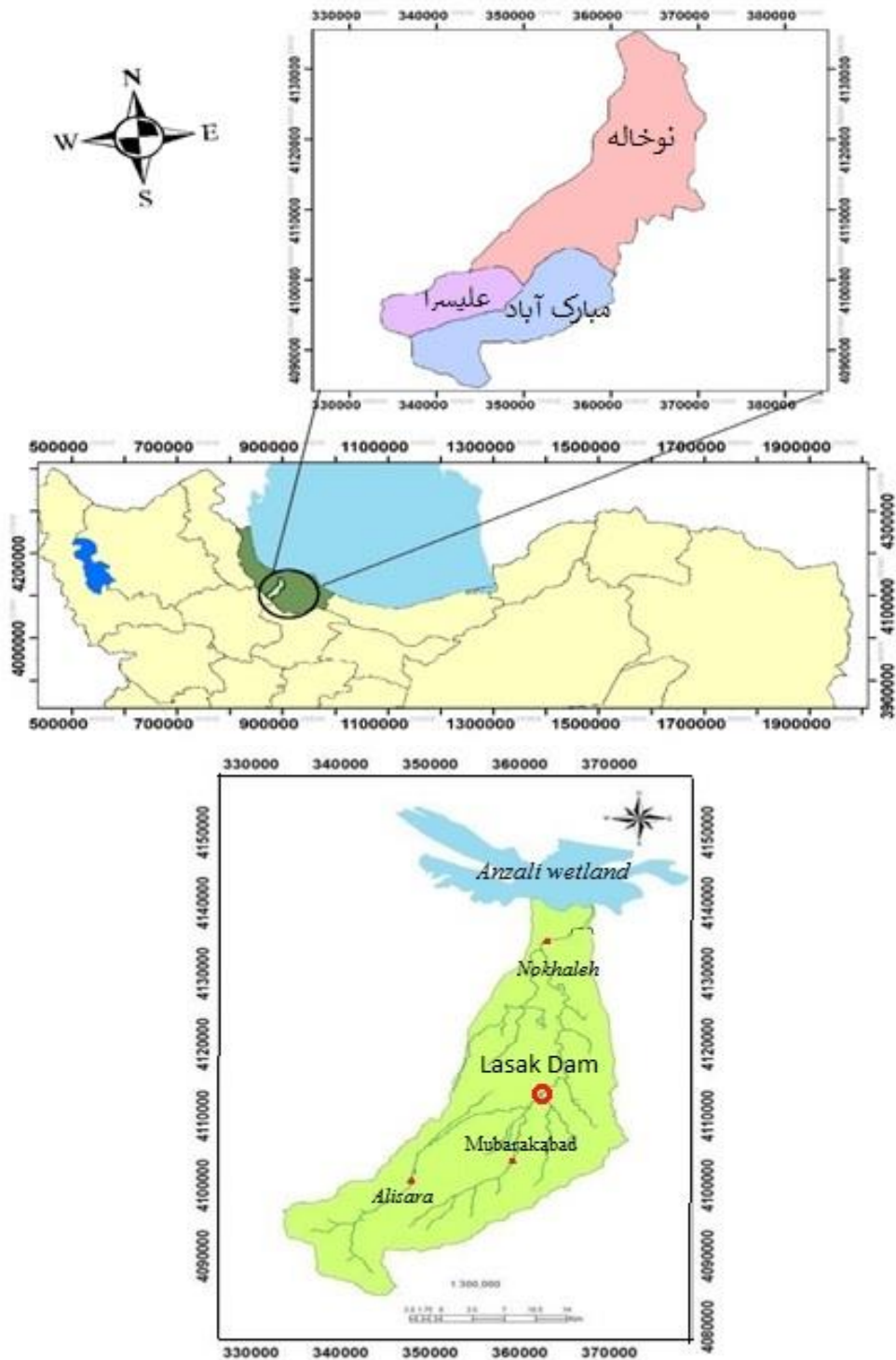
فرسایش غیر طبیعی خاک مشکل محیط زیستی بسیار گستردگی است که در کشورهای در حال توسعه زندگی انسان-ها را تهدید می‌کند. هر ساله ۷۵ میلیارد تن خاک در جهان به خاطر فرسایش برداشته می‌شود که بیشترین آن مربوط به اراضی کشاورزی است. نرخ متوسط از دست دادن خاک برای آسیا ۱۳/۸ تن در هکتار بر سال است (Ananda and Herath, 2003). عرب‌خدری^۱ و همکاران مقدار فرسایش آبی خاک کشور را بر اساس نقشه شدت فرسایش با کاربرد روش توان فرسایش (EPM) معادل ۹۷۶ میلیون تن در سال برآورد کردند (Arabkhedri et al., 2018). فرسایش خاک و رسوب حاصل از آن پیامدهایی چون تغییر در چرخه طبیعی آب، افزایش شدت سیل‌خیزی، کاهش حاصلخیزی خاک، افزایش رانش زمین، پر شدن مخازن سدها و کانال‌های انتقال آب، کاهش کیفیت آب در آبراهه‌ها و دریاچه‌ها، بیابان‌زایی، از دست دادن توان زیستی خاک، الودگی آب و خاک که از مهمترین چالش‌های محیط زیستی می‌باشد، به همراه خواهد داشت (Wang et al., 2012; Sieber et al., 2013; Yu and Song, 2023; Leul et al., 2023). تولید رواناب سطحی در هر حوضه آبخیز تحت تاثیر بیلان آب ان حوضه و بیلان آبی حوضه تحت تاثیر عوامل اقلیمی و خصوصیات فیزیکی از جمله توپوگرافی، خاک و کاربری اراضی است (Sieber et al., 2013). اهمیت نوع کاربری اراضی به اندازه‌ای است که معتقدند درک و فهم پیامدهای تغییر کاربری اراضی نیاز اصلی فرایندهای هیدرولوژیکی در آینده هستند (Turner et al., 2003). تغییر کاربری اراضی از طریق تاثیر بر نوع و مقدار پوشش گیاهی، مقدار تبخیر و تعرق و نفوذ بارش در خاک موثر است که به نوبه خود، باعث تغییر نیاز آبی، از قبیل نیاز برای آبیاری و شهرنشینی، تغییر در میزان آب در دسترس برای فرایندهای نفوذ، مقدار رواناب حاصل از رواناب کشاورزی و مناطق مسکونی می‌شود (DeFries and Eshleman, 2004; Malede et al., 2022; Bai et al., 2023).

مطالعات در مورد نقش کاربری‌های مختلف اراضی در تولید رواناب و رسوب از دیرباز تاکنون به طور مستمر انجام شده است. اکبرزاده^۲ و همکاران به بررسی مقدار نشست رسوبات مخزن سد شهید عباسپور با استفاده از روش‌های تجربی و مدل HEC-RAS پرداختند. در این پژوهش مقدار نشست رسوبات سد شهید عباسپور محاسبه و با مقدار واقعی اندازه‌گیری شده موردن مقایسه قرار گرفته است. نتایج آن‌ها نشان داد که تطابق خوبی بین مدل عددی HEC-RAS و داده‌های اندازه‌گیری شده وجود دارد (Akbarzadeh et al., 2018).

شفاعی بجستان^۳ میزان رسوبات ورودی به مخزن سد گتوند علیا

کردن که علت زیاد بودن فرسایش و تولید رسوب در قسمت مبارکآباد وجود مراتع تخریب شده، جنگل‌تراشی، شیب زیاد منطقه، وجود اراضی تحت کشت چای در شیب زیاد و چرای بیش از حد دام است (Ebrahimi et al., 2022a, b). تاکنون هیچ مطالعه‌ای جهت بررسی تاثیرات احداث سد لاسک بر روی رودخانه پسیخان و رفتار مورفولوژیکی آن انجام نشده است.

آب رودخانه پسیخان ۲۰/۷ مترمکعب بر ثانیه است که نسبت به دیگر رودخانه‌های حوضه آبخیز تالاب انزلی بسیار بیشتر است. همچنین تولید رسوب در حوضه پسیخان ۱۸۸/۳ هزار تن در سال نسبت به دیگر زیرحوضه‌های تالاب انزلی بیشتر است (Asadi, 2016). همچنین ابراهیمی^۱ و همکاران نشان دادند که فرسایش در بخش جنوبی حوضه پسیخان در زیرحوضه مبارک‌آباد بسیار بیشتر از بخش شمالی آن است. این پژوهشگران بیان



شکل ۱. موقعیت حوضه پسیخان و زیرحوضه مبارک‌آباد و ایستگاه‌های هیدرومتری آن

ایستگاه هیدرومتری آن دارای طول جغرافیایی $58^{\circ} 24' 49''$ و عرض جغرافیایی $37^{\circ} 4' 49''$ است. طول رودخانه از محل سرچشمه تا محل اتصال به شاخه اصلی ۳۲ کیلومتر است و مساحت این زیر حوضه $111/5$ کیلومترمربع و شبیب متوسط وزنی حوضه آبخیز امامزاده ابراهیم $37/6$ درصد و شبیب متوسط وزنی خود رودخانه امامزاده ابراهیم $9/37$ درصد می باشد (شکل ۱).

دبي ورسوب حوضه پسپخان

در جدول ۱ میانگین بلند مدت (سی ساله) آمار رسوب و
دبی در سه ایستگاه موجود در حوضه پسیخان نمایش داده شده
است. همانگونه که در جدول ۱ نشان داده شده است میانگین
بار رسوب معلق در زیرحوضه مبارکآباد $66/6$ هزار تن در
سال) دو برابر زیرحوضه علیسرا ($31/3$ هزار تن در سال) است.
عملت بیشتر بودن رسوب معلق در زیرحوضه مبارکآباد را می-
توان به وجود مرانع تخریب شده با سطح زیاد در بالا دست آن
نسبت داد. این مرانع در بخش جنوبی حوضه و در موقعیتی با
شیب بسیار زیاد قرار دارند. همچنین میانگین دبی سالانه نیز در
زیرحوضه مبارکآباد بیشتر از زیرحوضه علیسرا است و در
انتهای حوضه در محل ایستگاه هیدرومتری نوخلاله به بیشترین
مقدار خود ($14/3$ مترمکعب در ثانیه) می‌رسد.

سد لاسک

محدوده مطالعاتی سد مخزنی لاسک در حوضه آبریز مبارکآباد (امامزاده ابراهیم) در استان گیلان و شهرستان شفت واقع گردید است. مختصات جغرافیایی محل سد در $49^{\circ} 24'$ طول شرقی و $37^{\circ} 3'$ عرض شمالی واقع شده است. ساختگاه سد در نزدیکی روستای لاسک واقع است. هدف اصلی از اجرای این طرح (ساخت سد مخزنی لاسک)، تامین آب شرب شهر شفت و روستاهای اطراف آن و بهبود شرایط آبیاری زمین‌های کشاورزی موجود (عمدتاً شالیزار) در محدوده کanal فومن در منطقه رودخانه امامزاده ابراهیم جهت آبیاری از سد است. مطالعات اولیه در ارتباط با ساخت سد مخزنی بر روی رودخانه امامزاده ابراهیم از سال ۱۳۷۲ توسط شرکت سهامی آب منطقه‌ای گیلان آغاز گردید. در این منطقه متوسط بارندگی سالانه در محل طرح حدود ۹۷۹ میلی‌متر می‌باشد، در محل سد

هدف از انجام این پژوهش (۱) بررسی اثر تغییرات کاربری، که با نرخ قابل توجهی در بالادست حوضه در حال رخدادن است، بر برخی ویژگی‌های هیدرولوژیکی حوضه مبارک‌آباد، (۲) بررسی تغییرات رسوب در طول رودخانه تا نقطه احداث سد لاسک و (۳) بررسی وضعیت رسوب‌گذاری در آینده در مخزن سد لاسک می‌باشد. با توجه به به آنکه خروجی سد لاسک وارد رودخانه پسیخان و سپس وارد تالاب انزلی می‌گردد رسوب شناسی این زیر حوضه در آینده بسیار حائز اهمیت می‌باشد که در این تحقیق مورد توجه قرار گرفته است.

مواد و روش‌ها

حوضه مورد مطالعه

حوضه مبارکآباد در واقع بخشی از حوضه‌ی بزرگتر پسیخان واقع در استان گیلان است. رودخانه پسیخان مهم‌ترین رودخانه حوضه تالاب انزلی در استان گیلان واقع در شمال ایران است. دو شاخه اصلی و کوهستانی آن، رودخانه امامزاده ابراهیم (زیرحوضه مبارکآباد) و سیامزگی (زیرحوضه علیسر) است که هر دو از ارتفاعات کوه لاته برخene که ارتفاعی حدود ۲۸۶۷ متر دارد، سرچشمه می‌گیرند. دو شاخه مذکور در جهت شمال-شمال شرقی جریان یافته و در حدود ۱۹ کیلومتری جنوب غرب شهر رشت به هم پیوسته و رودخانه پسیخان را تشکیل می‌دهد. حوضه آبخیز رودخانه پسیخان در محدوده مختصات جغرافیایی جغرافیایی ۵۴° تا ۳۶° عرض شمالی قرار گرفته است. طول اصلی رودخانه پسیخان از سرشاخه سیاه‌زمگی تا تالاب انزلی ۹۴/۴۵ کیلومتر است و وسعت حوضه آبریز آن حدود ۷۷۵ کیلومترمربع می‌باشد. میانگین ارتفاع آن ۴۷۵/۷ متر می‌باشد (شکل ۱). این حوضه دارای شیب متوسط وزنی ۱۹/۶۲ درصد و کل رودخانه دارای شیب متوسط ۳/۰۸ درصد می‌باشد.

زیرحوضه مبارک آباد (امامزاده ابراهیم) در شرق رودخانه سیاهمزگی واقع است که محل سرچشمه آن کوه خرکش با ۲۴۰۳ متر ارتفاع و جهت کلی این رودخانه جنوب به شمال است و یکی دیگر از سرشاخه‌های اصلی رودخانه پسیخان با عرض جغرافیایی $4^{\circ} 37^{\prime}$ تا 57^{\prime} 36° شمالی و طول جغرافیایی $15^{\circ} 49^{\prime}$ تا $49^{\circ} 26^{\prime}$ شرقی می‌باشد که محل

جدول ۱. آمار بار رسوب معلق و آبدهی رودخانه‌ها در ایستگاه‌های نمونه‌برداری

نوع خاله	مبارک آباد	علیسرا	بنو خاله	نوبتگاه						
متوسط بارندگی سالانه (میلی‌متر)	۷۴/۴	۰/۵	۱۹۶/۹	۴۰/۷/۴						
میانگین مقدار بار سالانه (مترمکعب سالانه)	۳۳/۴	۰/۸	۲۲۲	۱۴/۳						
مقدار بار سالانه (تن در سال)	۰/۸	۰/۵	۳۱/۳۱	۱۸۵/۰						
مقدار معلق (هزار رسوب معلق)	۰/۸	۰/۵	۶۶/۶	۲۲۳/۱						
میانگین دبی سالانه (مترمکعب سالانه)	۰/۸	۰/۵	۲/۹	۴/۲						
حداکثر دبی سالانه (مترمکعب سالانه)	۰/۸	۰/۵	۲/۹	۶/۱۹						
حداکثر مقدار بار سالانه (مترمکعب سالانه)	۰/۸	۰/۵	۲۲۲	۳/۳						
میانگین دبی سالانه (میلی‌متر)	۰/۸	۰/۵	۱۴/۳	۱۱۰۴/۰						
ایستگاه	رسوب معلق (هزار رسوب معلق)	رسوب معلق (هزار رسوب معلق)	حداکثر دبی سالانه (مترمکعب سالانه)	حداکثر دبی سالانه (مترمکعب سالانه)	حداکثر مقدار بار سالانه (مترمکعب سالانه)	میانگین دبی سالانه (میلی‌متر)	حداکثر دبی سالانه (میلی‌متر)	میانگین مقدار بار سالانه (میلی‌متر)	حداکثر بار سالانه (میلی‌متر)	متوسط بارندگی سالانه (میلی‌متر)

جدول ۲. مشخصات کلی طرح سد لاسک

واحد	مقدار	ویژگی	واحد	مقدار	ویژگی
متر	۹۱۵	طول تاج	میلیون متر مکعب	۵۹/۲۶	حجم مخزن در تراز نرمال
متر از سطح دریا	۱۶۵/۶	تراز تاج	متر از سطح دریا	۱۶۱/۵	تراز نرمال بهرهبرداری
متر از سطح دریا	۹۸	تراز کف رودخانه	میلیون متر مکعب	۵	حجم مخزن در حداقل تراز بهرهبرداری
متر	۶۷/۶	ارتفاع سد	میلیون متر مکعب	۹۴/۶	آورد رودخانه
میلیون متر مکعب	۶	حجم بدنه	میلیون متر مکعب	۸۷/۷	حجم تنظیم سد
			میلیون متر مکعب	۸/۰۸	حجم سرربز

$$F_{gr} = U_*^n \left[gh \left(\frac{y_s}{y} - 1 \right) \right]^{-1/2} \left[\frac{V}{\sqrt{32 \log(\frac{\alpha D}{d})}} \right]^{1-n} \quad (1)$$

که در آن F_{gr} عدد تحرک ذرات؛ U_* سرعت برشی (L/T)؛ y توان انتقال وابسته به اندازه رسوب؛ α ضریب برابر با ۱۰ در معادله آشفته نامهوار؛ d اندازه ذرات رسوب (L)؛ و D عمق آب (L).

برآورده رسوب مخزن

در این تحقیق دقت دو روش ترازها افزایش و کاهش (Borland and Miller, 1971) داده‌های ارتفاعی تراز اصلحی و ارتفاع حجم اول سد لاسک و ارتفاع حجمی سطح دوم (پس از تنهایی) انجام شد.

مدل‌سازی HEC-RAS

اطلاعات ورودی به مدل در سه بخش هندسه، رسوب و هیدرومتری تقسیم می‌شوند. برای اطلاعات ژئومتری از نقشه توپوگرافی حوضه با مقیاس ۱/۵۰۰۰ استفاده شد. اطلاعات هیدرولوژی شامل دبی ورودی روزانه در طول دوره مطالعه بود. همچنین اطلاعات مربوط به رسوب نیز شامل منحنی دبی-رسوب و دبی آب ورودی به مخزن، دانه‌بندی رسوبات و درصد رسوبات متعلق بود. برای اجرای این مدل بایستی شرط مرزی بالا و پایین دست را در نظر گرفت. برای شرط مرزی بالا دست امکان معرفی دبی ورودی به مخزن سد به صورت سری زمانی جریان وجود دارد. برای شرط مرزی پایین دست امکان معرفی سه شرط عمق نرمال، دبی-اشنل و سطح تراز آب مخزن به صورت سری زمان وجود دارد که در این پژوهش از تراز زمانی سطح آب، به عنوان شرط مرزی پایین دست استفاده شد. در شکل ۲ روند مدل‌سازی نمایش داده شده است.

نقشه کاربری اراضی

کاربری اراضی یکی از مهمترین عوامل موثر بر مقدار رواناب، تبخیر و تعرق، نفوذ و فرسایش سطحی حوضه می‌باشد. از آنجا که از اهداف این مطالعه، بررسی میزان تأثیرپذیری.

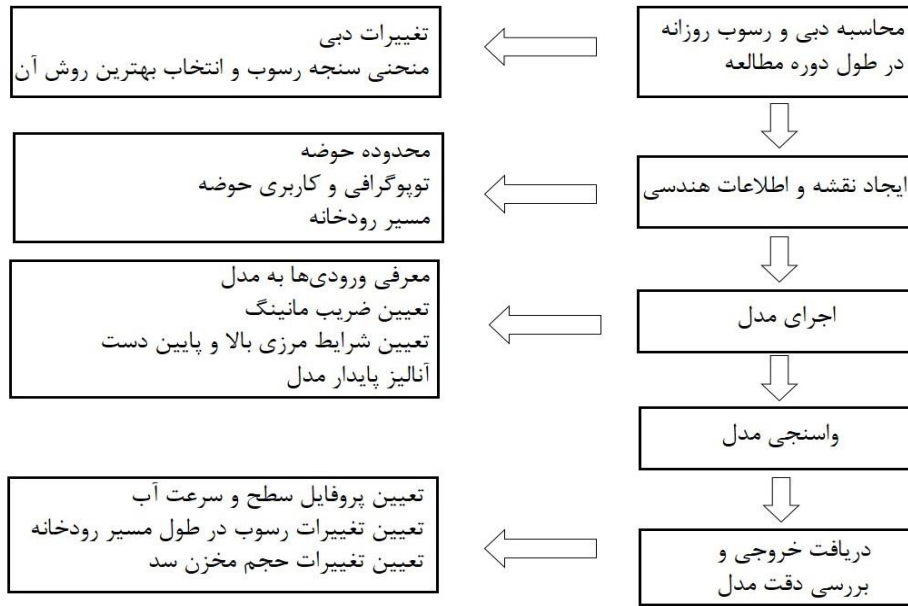
ласک، شهریورماه با متوسط بارش ۱۴۵ میلی‌متر، پرباران ترین ماه و خردادماه با ۵۶ میلی‌متر بارندگی، کمترین میزان را دارد. متوسط دمای سالانه محدوده مورد مطالعه ۱۵/۳ درجه سانتی‌گراد، بهمن‌ماه با متوسط دمای ۶/۲ درجه سانتی‌گراد سردترین و مرداد با ۲۴/۵ درجه سانتی‌گراد گرم‌ترین ماه سال است. میانگین تبخیر سالانه از تشت در ساختگاه سد لاسک ۱۰۸۰ میلی‌متر برآورده است. میزان دبی ورودی به سد لاسک در حدود ۲/۵ متر مکعب در ثانیه برآورده است. مشخصات کلی سد لاسک در جدول ۲ نمایش داده شده است.

توزیع رسوب و منحنی سنجه رسوب

برای سنجش رسوب از اطلاعات بلند مدت در دوره زمانی سال ۱۳۷۵ تا ۱۳۹۹ استفاده شد. این اطلاعات از شرکت سهامی آب منطقه‌ای گیلان گرفته شد. همچنین رابطه رسوب معلق و دبی محاسبه شد. برای تعیین رسوب، دبی و رواناب در سال‌های آتی (سال‌های ۱۴۱۹ و ۱۴۵۰) با کمک مدل آماری LARS-WG در دو سناریو (RCP 4.5 و RCP 8.5) و ابزار آب و خاک SWAT مورد بررسی قرار گرفت. برای به دست آوردن تغییرات ماهانه رسوب از میانگین تغییرات رسوب هر ماه در طول دوره مطالعه استفاده شد.

روند رسوب‌گذاری در طول رودخانه با استفاده از مدل HEC-RAS

مدل HEC-RAS برای شبیه‌سازی جریان‌های ماهانه و مسیریابی رسوب در مخزن سد لاسک استفاده شد. دوره مورد بررسی توسط این مدل از سال ۱۳۷۶ تا ۱۴۵۰ بود. معادله آکرز و وايت^۹ در مدل 4.1 HEC-RAS برای مسیریابی رسوب به دلیل طیف گسترهای از اندازه‌های رسوب در مورد مطالعه استفاده شد (معادله ۱). معادله آکرز وايت برای تخمین پتانسیل جریان برای انتقال اندازه دانه‌های رسوبات در نظر گرفته شد. برای محاسبه مقدار غلظت متوسط به دلیل عملکرد رضایتبخش در مدل HEC-RAS در نظر گرفته شد (Ackers-White, 1973).



شکل ۲. روند مدلسازی در مطالعه حاضر

نتایج و بحث

تغییرات کاربری اراضی

نقشه‌های کاربری اراضی مربوط به سال‌های ۱۳۷۶، ۱۳۸۶ و ۱۴۵۰ همچنین نقشه پیش‌بینی شده سال‌های ۱۴۱۹ و ۱۴۵۰ برای استخراج ماتریس احتمال تغییر وضعیت کاربری‌ها با استفاده از روش زنجیره مارکوف مورد استفاده قرار گرفت. با قابل قبول بودن ارزیابی دقت توسط مقادیر ضریب کاپا با اجرای مجدد مدل CA-Markov نسبت به تهیی ن نقشه‌ی کاربری اراضی سال‌های ۲۰۴۰ و ۲۰۷۱ اقدام شد. جدول ۳ مساحت هر کدام از کلاس‌های نقشه‌های طبقه‌بندی شده را (برحسب کیلومترمربع) برای سال‌های مورد نظر برای حوضه نشان می‌دهد. گسترش کاربری مسکونی به صورت مستمر، با کاهش کاربری شالیزار و مراتع همراه بوده است. بدین صورت که از سال ۱۳۷۶ تا ۱۴۵۰ مساحت کاربری مسکونی از ۱/۸۷ کیلومترمربع به ۲۱/۴۵ کیلومترمربع (۱۱ برابر معادل هزار و صد درصد) افزایش یافته است که این موضوع به دلیل افزایش جمعیت و ویلادسازی می‌باشد. مراتع در طول دوره ۷۴ ساله روند کاهشی داشته که این میزان با توجه به تبدیل مراتع به نواحی آبی برای پرورش ماهی، کاشت درخت برای ویلادسازی و همچنین ممکن است به دلیل تغییر اقلیم منطقه و بروز خشکسالی به اراضی باشد. با رشد و گسترش شهرنشینی و هجوم جمعیت، در حال حاضر دامنه شهرها به شالیزارها رسیده است. عدم حمایت از کشاورزان، افزایش ارزش افزوده اراضی کشاورزی، همه این عوامل دست به دست هم داده‌اند تا اغلب کشاورزان به تفکیک و تغییر کاربری اراضی خود به مسکونی روی آورند. در شکل ۳ نقشه‌های کاربری اراضی در سال‌های مختلف مطالعه نمایش داده شد.

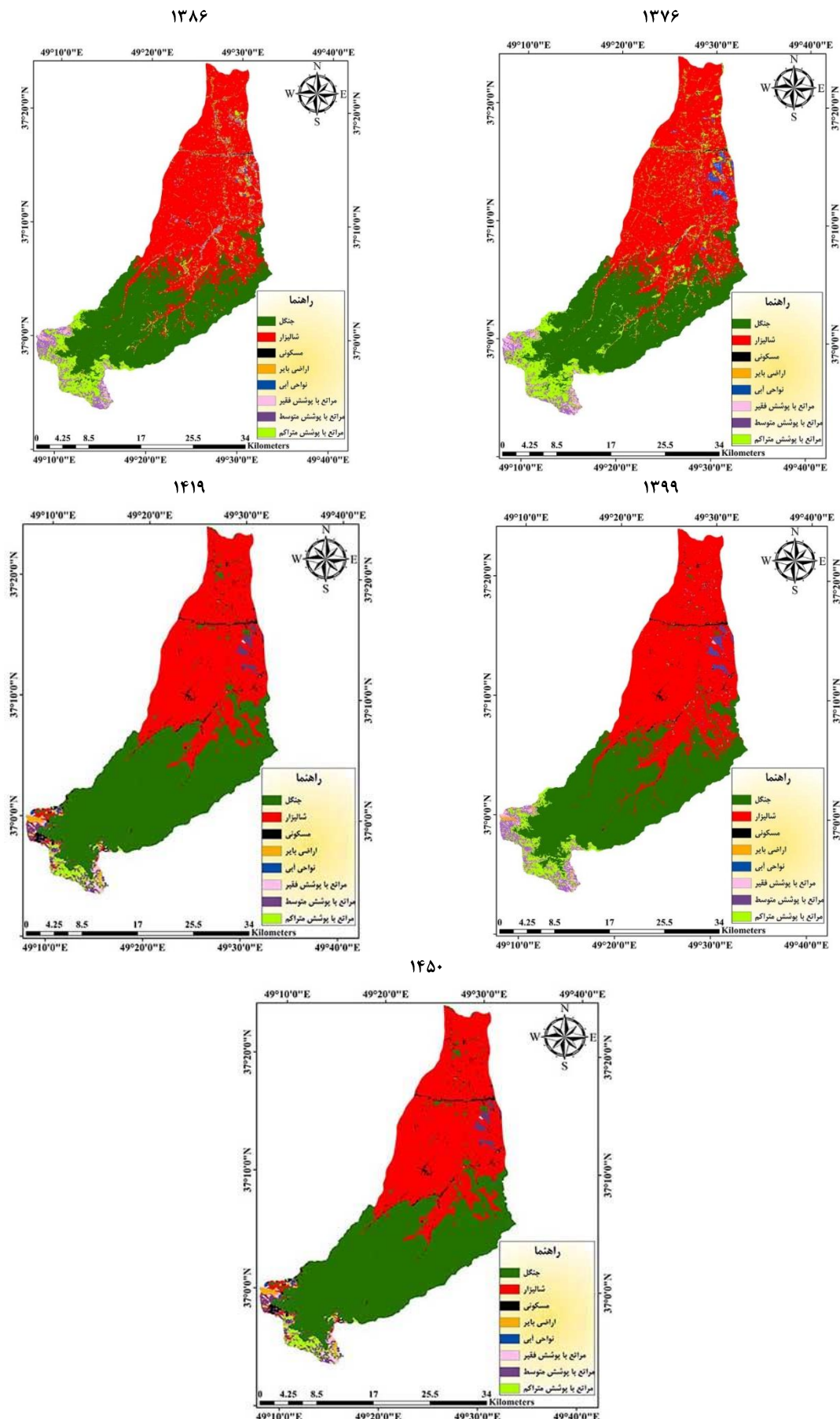
فرآیندهای هیدرولوژی حوضه از تغییرات کاربری اراضی می‌باشد، لذا جهت تهیی نقشه‌های کاربری اراضی مورد نظر از تصاویر ماهواره‌ای استفاده شد. همچنین برای پردازش تصاویر ماهواره‌ای از نرم افزارهای ENVI 5.3 و Google Earth و ArcGIS 10.3 میزان تغییرات ایجاد شده استفاده شد

ارزیابی روند تغییرات کاربری اراضی

در این پژوهش برای کشف تغییرات محدوده مورد مطالعه از مقایسه تصاویر طبقه‌بندی شده استفاده گردید زیرا این روش بهترین روش کشف تغییرات در دو زمان مختلف می‌باشد، که در آن مقدار و نوع تغییرات در تصاویر به دست می‌آید. اساس این روش به این صورت است که سه تصویر ۱۳۷۶، ۱۳۸۶ و ۱۴۵۰ که در تاریخ‌های مختلف تهیی شده‌اند، جداگانه طبقه‌بندی می‌شوند، سپس آنها را بر روی هم دیگر انطباق داده و بدین وسیله تغییرات بوجود آمده تشخیص داده می‌شود. همچنین در دو سال ۱۴۱۹ و ۱۴۵۰ نیز پیش‌بینی نقش کاربری اراضی انجام شد.

واسنگی مدل HEC-RAS

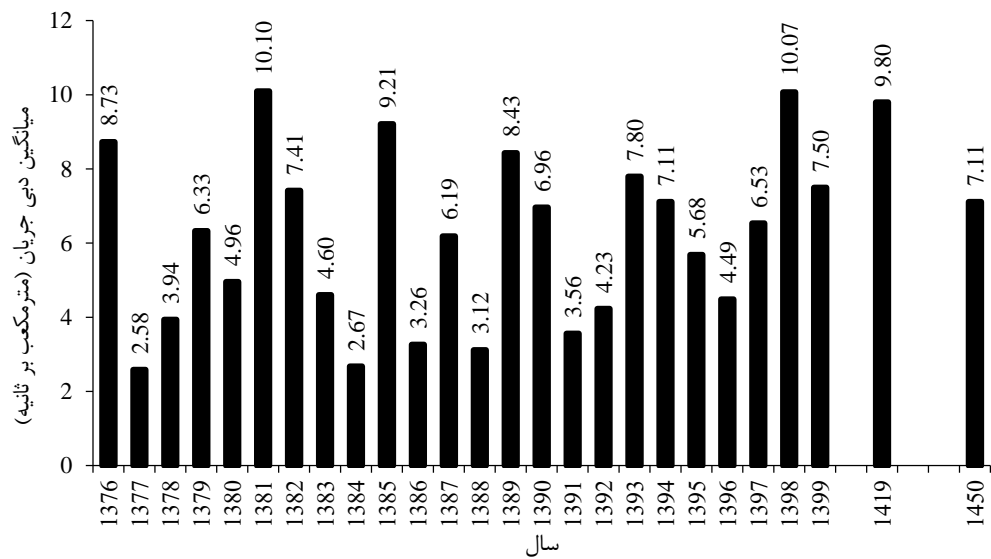
برای واسنگی هیدرولیک جریان در مدل HEC-RAS از اطلاعات دبی-اشنل در ایستگاه هیدرومتری مبارک‌آباد (از سال ۱۳۷۶ تا ۱۳۹۹ به صورت یک سال در میان برای واسنگی استفاده شد) بالا دست سد استفاده شده است.



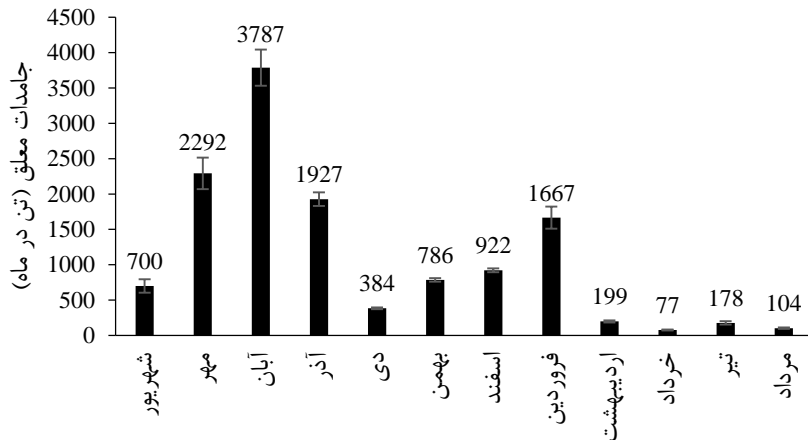
شکل ۳. نقشه‌های کاربری اراضی در سال‌های مختلف تغییرات دبی - رسوب - رواناب

جدول ۳. مساحت (کیلومترمربع) کلاس‌های کاربری اراضی حوضه آبریز امامزاده ابراهیم با الگوریتم حداقل احتمال

کاربری	نقشه کاربری ۱۴۵۰	نقشه کاربری ۱۴۱۹	نقشه کاربری ۱۳۹۹	نقشه کاربری ۱۳۸۶	نقشه کاربری ۱۳۷۶	نقشه کاربری ۱۳۶۰
مسکونی	۲۱/۴۵	۱۳/۰۴	۸/۰۷	۳/۷۶	۱/۸۷	
زمین بایر	۱/۸۶	۵/۳۳	۳/۱۸	۱/۲۲	۲/۸۵	
جنگل	۴۴۸/۲۵	۴۲۲/۸۶	۳۵۸/۸۹	۳۰/۲/۱۳	۳۰۹/۰۵	
مرانع با پوشش فقیر	۴/۰۶	۷/۵۷	۸/۹۸	۹/۹۶	۱۱/۷۴	
مرانع با پوشش متوسط	۴/۲۸	۱۱/۸۹	۲۲/۷۵	۳۳/۴۵	۱۸/۵۵	
مرانع با پوشش متراکم	۴/۸۲	۱۳/۲۱	۳۵/۴۱	۷۷/۴۵	۹۹/۸۵	
شالیزار	۳۶۴/۰۷	۳۷۳/۹۸	۴۱/۷۳	۴۲۴/۱۴	۴۰/۱/۹۳	
نواحی آبی	۴/۰۳	۴/۹۸	۴/۸۶	۱/۰۲	۶/۹۸	



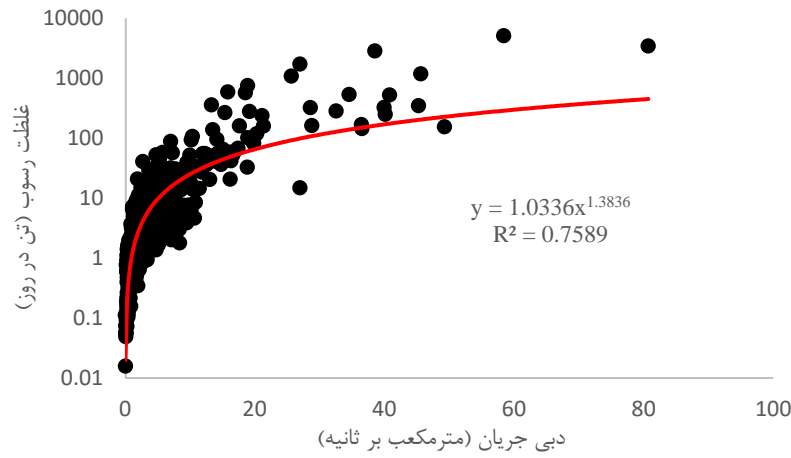
شکل ۴. تغییرات میانگین دبی سالانه در دوره ۱۳۷۶-۱۴۵۰



شکل ۵ میانگین تغییرات ماهانه غلظت رسوبات معلق در طول دوره مطالعه

مترمکعب در ثانیه بود. در شکل ۵ تغییرات ماهانه غلظت رسوب در طی دوره ۱۳۷۶-۱۴۵۰ نشان داده شده است. همانگونه که در شکل ۵ مشخص است بیشترین غلظت رسوب در آبان ماه رخ داده است که علت این موضوع را می‌توان به فراوانی بیشتر باران نسبت داد. از اردیبهشت تا مرداد که میزان بارندگی در استان گیلان و به طبع آن در حوضه مبارک آباد کاهش می‌باشد، میزان فرسایش خاک و تولید رسوب نیز به حداقل خود رسیده است.

در شکل ۴ تغییرات میانگین دبی سالانه زیرحوضه مبارک-آباد (در محل ایستگاه هیدرومتری) در طی دوره ۱۳۷۶-۱۴۵۰ نمایش داده شده است. در این دوره بیشترین مقدار میانگین دبی مربوط به سال ۱۳۸۱ برابر با ۱۰/۱ مترمکعب در ثانیه بوده است. در سال ۱۳۹۸ نیز دبی جریان رودخانه برابر (اختلاف بسیار جزوی) با سال ۱۳۸۱ شده است. کمترین مقدار دبی جریان مربوط به ۱۳۷۷ معادل ۲/۵۸



شکل ۶ منحنی سنجه رسوب زیر حوضه امامزاده إبراهيم

مطالعه‌ای لکزیانپور^{۱۲} و همکاران به بررسی برآورد مقدار رسوب از داده‌های دبی با استفاده از منحنی سنجه رسوب پرداختند. نتایج نشان می‌دهد با افزایش بارندگی ۹۶/۴۶ درصدی مقدار رسوب معلق به میزان ۹۹/۶۲ درصد افزایش یافته است (Lakzianpour et al., 2016). همچنین در تحقیقی از منحنی سنجه رسوب به منظور تعیین رسوب معلق در رودخانه زاینده‌رود استفاده شد (Halabian and Heydari, 2015).

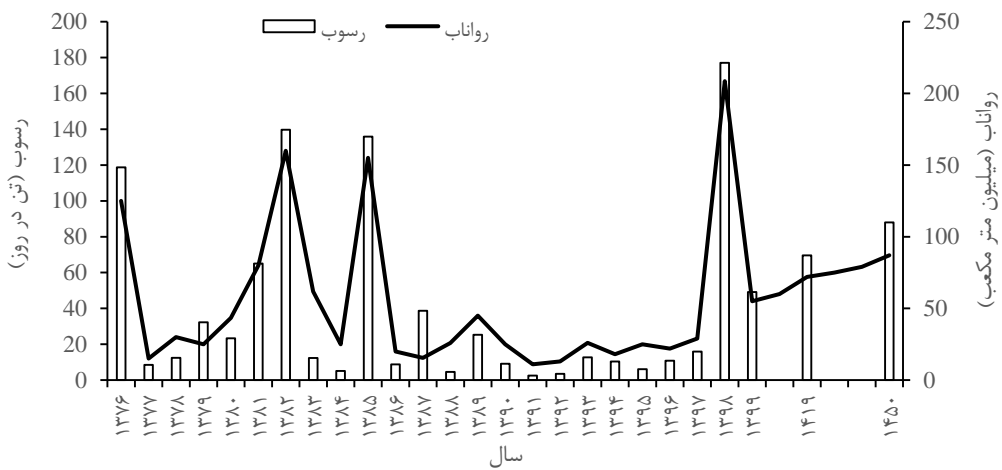
نتایج این مطالعه نشان داد که بیشترین رسوب معلق در سال ۱۳۸۵ و کمترین آن در سال ۱۳۸۱ رخ داده است، همچنین نتایج نشان داد با افزایش بارندگی، رسوب معلق افزایش می‌یابد.

در شکل ۷ رابطه بین رواناب و رسوب در حوضه مورد مطالعه نمایش داده شده است. همانگونه که در شکل ۷ مشخص است ارتباط بسیار نزدیکی بین رواناب و رسوب وجود دارد. در سال‌های که رواناب سالانه افزایش یافته است مقدار رسوب تولید شده نیز افزایش یافته است. بیشترین مقدار رواناب تولید شده نیز افزایش یافته است. در سال ۱۳۹۸ (۲۰۸/۵ میلیون مترمکعب) و رسوب در سال ۱۷۷ (۲۰۸۰) به دست آمده است. با افزایش بارندگی، میزان تولید رواناب و فرسایش خاک افزایش می‌یابد، بنابراین با افزایش رواناب تولید رسوب در حوضه نیز افزایش خواهد یافت. در همین راستا ایلدرمی^{۱۳} و همکاران اثر تغییر کاربری اراضی و خشکسالی بر رواناب حوضه‌ی زاگرس مرکزی (مطالعه‌ی موردي: حوضه‌ی تویسرکان) را بررسی کردند و نتیجه گرفتند رواناب در حوضه‌ی دارای روند افزایشی است که علت آن خشکسالی نه چندان محسوس، تغییر کاربری اراضی قابل توجه و افزایش بارندگی در برخی ماهها است (Ildoromi et al., 2018). نتایج پژوهش غفاری^{۱۴} و همکاران بیانگر افزایش مقدار رواناب سطحی در حدود ۳۳ درصد و کاهش سطح آب سفره‌های آب زیرزمینی در حدود ۲۲ درصد به علت تغییرات کاربری است (Ghafari et al., 2010).

در شکل ۶ منحنی سنجه رسوب در حوضه مورد مطالعه نمایش داده شده است. برای ترسیم این منحنی از اطلاعات دبی و رسوب ایستگاه هیدرومتری مبارک‌آباد بین سال‌های ۱۳۷۵ الی ۱۳۹۹ استفاده شده است. همانگونه که مشخص است همبستگی خوبی ($R^2 = ۰/۷۵۸$) بین اطلاعات دبی و رسوب در این حوضه وجود دارد. این منحنی به عنوان پایه غالب مباحثه مربوط به انتقال رسوب است و از اهمیت ویژه‌ای برخوردار است.

در شکل ۶ منحنی سنجه رسوب (رابطه دبی و رسوب معلق) نمایش داده شده است. غالب ارزیابی‌های مقدار تولید رسوب حوضه‌های آبخیز با استفاده از نمونه‌برداری‌های پراکنده و نامنظم از رسوبات معلق رودخانه‌ها صورت می‌گیرد که در صورت عدم وجود اندازه‌گیری واقعی رسوب، از منحنی سنجه رسوب برای تخمین غلظت رسوب معلق استفاده می‌شود. اریب منحنی سنجه رسوب از دو عامل نشات می‌گیرد. عامل اول به علت تغییر شکل معادله از حالت لگاریتمی به حالت طبیعی مدل رگرسیون خطی است که در اصل مربوط به ذات منحنی سنجه است. عامل دوم ناشی از عمل برونویابی برای برآورد رسوب دبی‌های بالا است (Varwani et al., 2017). هرویتز^{۱۵} که در ارتباط با کمیت و کیفیت اطلاعات بوده و باعث می‌شود رسوب برآورده دارای خطای زیادی باشد (Horowitz, 2002).

نتایج شکل ۶ نشان می‌دهد که همبستگی قابل قبولی بین دبی و رسوب (ضریب تعیین برابر با $۰/۷۵$) وجود دارد، از این‌رو از معادله این نمودار برای تخمین غلظت رسوب استفاده شده است. عوامل بسیاری چون اقلیم، کاربری اراضی، صحت آمار و نحوه تجزیه و تحلیل آماری بر شکل و شب منحنی‌ها موثر می‌باشد. در پژوهش حکیم‌خانی^{۱۶} و همکاران به تحلیل رسوب معلق در دریاچه ارومیه پرداختند که عوامل دی متوسط سالانه، درصد سنگ‌های حساس به فرسایش، بارش متوسط سالانه و درصد اراضی به عنوان عوامل اصلی بیش از $۰/۹۳$ تغییرات رسوب معلق معرفی شدند (Hakimkhani et al., 2000). در

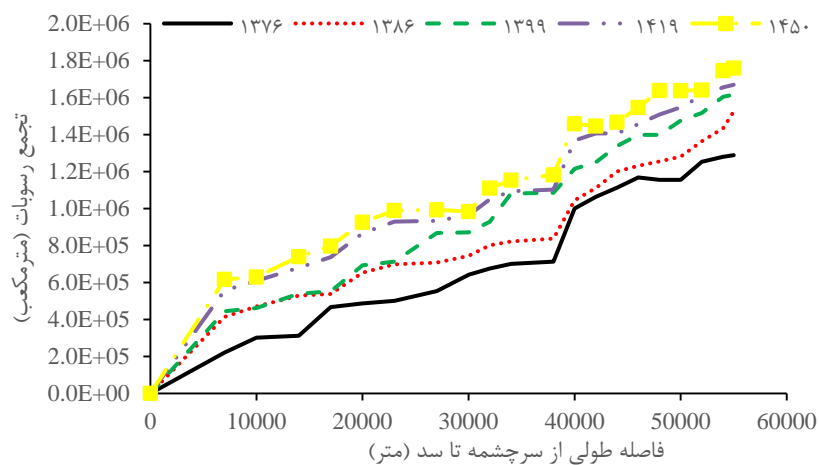


شکل ۷. تغییرات رواناب و رسوب در حوضه مورد مطالعه

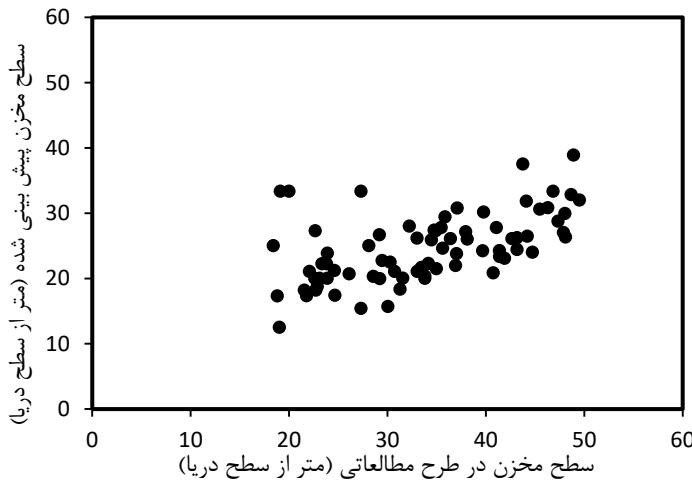
تغییرات سالانه رسوب‌گذاری در طول مسیر یک روند افزایشی داشته است که علت آن را می‌توان به تخریب مراتع و جنگل-تراشی در بخش جنوبی حوضه نسبت داد. از دلیل اصلی افزایش رسوب در سال‌های آینده را می‌توان به کاهش مساحت مراتع بخش جنوبی حوضه نسبت داد. بدین صورت که مقدار مراتع با پوشش متر acum از ۹۹/۶۵ به ۴/۸۲ کیلومترمربع (جدول ۳) خواهد رسید. اهمیت مراتع در تولید رسوب به این دلیل است که این کاربری در بخش پرشیب حوضه قرار دارد و تغییر در مساحت آن سبب تغییرات زیادی در فرسایش خاک و تولید رسوب می‌شود. همچنین دلیل دیگر افزایش رسوب در سال‌های آینده را می‌توان به افزایش درصد کاربری مسکونی در منطقه نسبت داد. همانطور که در جدول ۳ نشان داده شد، از سال ۱۳۷۶ تا ۱۴۵۰ درصد کاربری مسکونی حدود بیست درصد افزایش خواهد یافت. به طور کلی می‌توان مهمترین عامل

تغییرات طولی رسوب

در شکل ۸ روند تغییرات طولی رسوب از سرچشمۀ رودخانه تا محل احداث سد در طول زمان نمایش داده شده است. همانگونه که مشاهده می‌شود در تمام سال‌های مورد بررسی از مبدأ تا محل سد روند رسوب‌گذاری افزایش یافته است. این روند افزایشی را می‌توان به شبیه زیاد منطقه در بالادست نسبت داد، چراکه در شرایطی که شبیه زیاد است جریان متلاطم بوده و امکان رسوب ذرات وجود ندارد. در ادامه مسیر به دلیل کاهش شدید شبیه و کاهش تلاطم جریان ذرات زمان بیشتری برای رسوب کردن دارند. کل بار رسوب انباسته شده در مخزن سد لاسک برای ارزیابی عملکرد مدل از بالادست به پایین دست در نزدیکی محل سد در نظر گرفته شد. با در نظر گرفتن وزن حجمی ۱/۱۵ تن بر مترمکعب رسوبات، نتایج نشان می‌دهد که در سال‌های ۱۴۱۹ و ۱۴۵۰ به ترتیب ۲۰۰۲ و ۱۹۲ میلیون تن رسوب در مخزن سد لاسک تهنشست خواهد کرد. به طور کلی



شکل ۸. تجمع رسوب در مخزن سد لاسک در طول زمان بر اساس مدل HEC-RAS



شکل ۹. تغییرات اندازه‌گیری و شبیه‌سازی سطح مخزن در طول دوره شبیه‌سازی دقت تخمین مدل

استفاده کردند. به صورت کلی نتایج مطالعه حاضر دارای دقت بیشتری نسبت به دقت مدل در مطالعه محمد و همکاران (Mohammad et al., 2016) دارد. این پژوهشگران حجم کل رسوبر انباسته شده در مخزن $1/13$ کیلومترمکعب برآورد کردند که این مقدار بسیار نزدیک به مقادیر اندازه‌گیری شده بود. به علاوه این مدل نشان داد که عمدۀ حجم رسوبات ($7/87$) در طول پنج سال اول بعد از بهره‌برداری سد انباسته شده‌اند. اعلمی و منظمی نوین^{۱۶} با استفاده از مدل HEC-RAS برآورد کردند که سالانه 132442 تن رسوبر در مخزن سد یامچی اربیل ترسیب می‌کند (Alami and Monazami, 2010). (Nwein, 2010).

جدول ۴. میانگین خطای (E) و (Se) حجم مفید باقیمانده مخزن سد لاسک

روش افزایش	روش Moody	Borland and Miller	برای کاهش سطح	برای کاهش سطح	R ²
.۰/۹۱	.۰/۸۳	.۰/۹۸			
۵۳/۰۳	۴۶/۴۹	۳۸/۱۷	E		
۲۴/۸۷	۱۶/۲۸	۱۰/۲۴	Eadj		
۶۱/۶۳	۳۶/۶۵	۳۱/۰۸	Se		
۵۸/۴۳	۲۹/۶۱	۲۵/۲۹	Seadj		

عمق رسوبر در مخزن سد

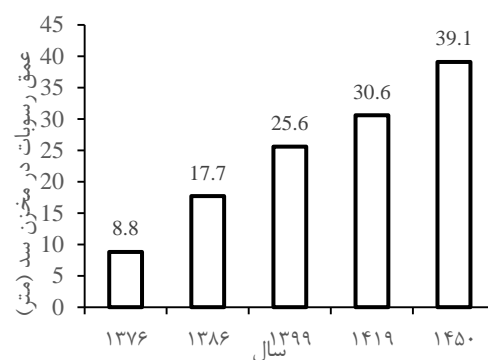
در شکل ۱۰ تغییرات عمق رسوبر در مخزن سد لاسک در سال‌های مختلف نمایش داده شده است. همانگونه که مشاهده می‌شود روند افزایشی در عمق رسوبر مخزن مشاهده می‌شود به نحوی که بیشترین مقدار آن در سال $1450/1$ معادل 39m ارتفاع آبگیری سد به دست آمده است. علت روند افزایشی عمق رسوبر را می‌توان به اثر تجمعی رسوبر در مخزن سد نسبت داد. همچنین دلیل دیگر این موضوع تخریب مراتع و افزایش جنگل-تراشی است که سبب لخت شدن زمین و افزایش فرسایش خاک و به طبع آن تولید رسوبر می‌شود. مشاهده می‌شود که در

تغییرات در رسوب حوضه را به تغییر کاربری در زمان‌های مختلف نسبت داد. در تمام نمودارها مشاهده می‌شود که تا یک کیلومتری از سرچشمۀ روند افزایشی شدید در رسوب‌گذاری وجود دارد. علت این موضوع را می‌توان به شیب زیاد منطقه و رسوبر ذرات درشت نسبت داد. بعد از این مرحله به دلیل کاهش اندازه ذرات رسوبر روند تغییرات کاهش یافته است. همچنین مشاهده می‌شود که در فاصله 4000 متری نیز یک شیب در اغلب نمودارها رخ داد است که علت این را نیز به تغییر شیب طولی رودخانه در این منطقه نسبت داد. در شکل ۹ همبستگی سطح مخزن (پیش‌بینی شده در طرح) و مقدار شبیه‌سازی شده (از مدل HEC-RAS) نمایش داده شده است که نشان می‌دهد مطابقت خوبی بین این دو وجود دارد.

در جدول ۴ دقت مدل تخمین زده شده در سه حالت نمایش داده شده است. همانگونه که مشاهده می‌شود مدل کاهش سطح بورلند و میلر (Borland and Miller, 1971) نسبت به دو روش دیگر دارای دقت مناسب‌تری است. بنابراین مدل کاهش سطح Borland and Miller برای پیش‌بینی توزیع رسوبر در مخزن سد لاسک انتخاب شد. مقایسه منحنی ظرفیت-عمق پیش‌بینی شده با منحنی واقعی نشان می‌دهد که روش کاهش سطح می‌تواند حجم رسوبر را بیشتر از حالت واقعی در عمق پایین مخزن تخمین بزند، اما در سطح بالاتر سطح عمق، روش کاهش حجم رسوبر را کمتر از حالت واقعی تخمین می‌زند. محمد^{۱۵} و همکاران رسوب‌گذاری مخزن سد موصل (عراق) را با استفاده از مدل ریاضی HEC-RAS برای جریان رودخانه اصلی و رسوبات مخزن سد موصل بررسی کردند. برای شبیه‌سازی جریان، مدل را با ضریب همبستگی $0/78$ و روندیابی رسوبر در سطح اولیه بستر را با ضریب $0/95$ همبستگی $0/98$ و میانگین و احراف معیار مطلق واسنجی و از معادله ایکرز و ولیت برای روندیابی رسوب‌گذاری

قطرات باران به سطح زمین جلوگیری می‌کند. همچنین به دلیل سیستم ریشه‌ای سطحی و تراکم تعداد گیاهان در مراتع سبب نفوذ بیشتر آب به داخل پروفیل خاک شده و از رواناب جلوگیری می‌کند. همانگونه که مشاهده شد روند افزایشی در تنهشین شدن ذرات رسوب از سرچشم رودخانه تا محل احداث سد وجود دارد. در بالا اشاره شد که علت این موضوع عدمتا کاهش شیب و کاهش تلاطم جریان است. همچنین این مطالعه نشان داد که عمق ته نشیتی مخزن سد لاسک در طول زمان به میزان قابل توجهی افزایش یافته است که می‌تواند باعث کاهش کارایی و طول عمر سد شود. بنابراین لازم است برای کنترل تغییرات کاربری اراضی و تولید رسوب در حوضه آبخیز اقدامات مناسبی انجام شود تا از آسیب بیشتر به محیط زیست و زیرساختها جلوگیری شود. مدل HEC-RAS [۱] بازیاری مؤثر برای پیش‌بینی رسوب‌گذاری در مخازن سدها است و می‌تواند در مطالعات آینده برای ارزیابی تأثیر تغییرات کاربری اراضی بر رسوب‌گذاری در سایر حوضه‌های آبخیز استفاده شود. اهمیت این رودخانه صرفا به منابع مالی احداث سد برمی‌گردد. چراکه این رودخانه منابع اصلی تامین آب تالاب انزلی است. تالاب انزلی که در سه دهه اخیر به شدت عمق آن به واسطه ورود رسوبات رو به کاهش است و در حال حاضر به حدود یک متر رسیده است احداث سد مذکور بر شدت کاهش عمق تالاب و نهایتا مرگ زودرس تالاب کمک می‌کند. حق‌آبه تالاب انزلی حجم مخزن سد ۴۵ میلیون متر مکعب است که آورده رودخانه در محل سد ۸۵ میلیون متر مکعب پیش‌بینی شده و مقرر شده است که حق‌آبه تالاب ۳۴/۲۴ میلیون متر مکعب باشد. نکته قابل توجه اینکه در ماههای خرداد، تیر و مرداد که بیشترین نیاز آبی مزارع برج نه به آب است به ناچار باید آب در پشت سد ذخیره شود تا به این نیاز پاسخ داده شود. با توجه به بالا بودن دمای محیطی، تبخیر آب از مزارع، عدم بارندگی در فصل تابستان و نیاز حداکثر مزارع به آب، مطمئناً حداقل میزان حق-آبه آب تالاب محقق خواهد شد و در تابستان تالاب به بیشتران حفاظت شده اسلکه به طور کامل خشک می‌شود و حق‌آبه تالاب در فصول پاییز و زمستان به تالاب خواهد رسید که در این فصول نیازی به این حق‌آبه نمی‌باشد.

صورت عدم کنترل رسوب در بالادست عمق مخزن از سال ۱۳۷۶ تا ۱۴۵۰ چهار برابر کاهش خواهد یافت. امامقلیزاده^۱ و همکاران در مطالعه‌ای رسوب ورودی به سد شیرین دره واقع در شهرستان بجنورد را بررسی کردند. این پژوهشگران بیان کردند که سالانه ۰/۸ درصد از حجم مخزن سد به دلیل رسوبات وارد شده به آن پر می‌شود. همچنین بیان کردند که در یک دوره صد ساله ۷۳/۲ میلیون تن رسوبات در مخزن سد انباشته می‌شود (Emamgholizadeh et al., 2020).



شکل ۱۰. رسوب‌گذاری در مخزن سد لاسک بر اساس مدل کاهش سطح

نتیجه‌گیری

در عصر حاضر به منظور بررسی تغییراتی که عمدتاً ناشی از تامین تقاضاهای بشری می‌باشد و همچنین، به دلیل پیشرفت گسترده نرم‌افزارها، استفاده از مدل‌ها با هدف جلوگیری از صرف زمان و هزینه بیشتر، امری غیر قابل اجتناب و برای مدیریت و برنامه‌ریزی بهتر امری ضروری به شمار می‌رود. در این مطالعه به بررسی تغییرات عمق مخزن سد لاسک و روند رسوب‌گذاری در مسیر رودخانه مبارک‌آباد با استفاده از حالت‌های مختلف مدل HEC-RAS در سال‌ها مختلف پرداخته شده است. نتایج به دست آمده از این مطالعه نشان داد که در حوضه امام‌زاده ابراهیم درصد کاربری مسکونی رو به افزایش است و درصد مراتع در بخش جنوبی و پر شیب حوضه به شدت کاهش یافته است. کاهش مراتع سبب افزایش تولید رسوب در حوضه می‌شود. کاهش پوشش گیاهی در سطح زمین سبب افزایش فرسایش خاک و تولید رسوب می‌شود. اهمیت مراتع در بخش کنترل فرسایش و تولید رسوب بسیار بیشتر از جنگل‌ها است، چراکه ارتفاع گیاهان در مراتع کم بوده و از برخورد مستقیم

Reference:

- Aasdi, H. (2016). Estimation of Sediment, Organic Carbon, and Phosphorous Loads from Pasikhan River into Anzali Wetland, Iran. International Journal of Environmental Protection, 6(1), 129-133
- Ackers, P., & White, W. R. (1973). Sediment transport: New approach and analysis. Journal of the Hydraulics Division, ASCE 99 (HY11), 2041–60.
- Akbarzadeh, N., Qureshi Najafabadi, S. H., & Majedzadeh Tabatabai, M. R. (2018). Investigating the amount of sedimentation of Shahid Abbaspur dam reservoir using experimental methods and HEC-RAS numerical model, National clean water conference, Tehran, Iran. [In Persian]

- Alami, M. T., & Monazami Nwein, M. (2010). Investigating sediment distribution on the surface of Yamchi dam reservoir in Ardabil using software and methods of level reduction and level increase and comparison of results, 5th National Civil Engineering Congress, Ferdowsi University of Mashhad, Mashhad, Iran. [In Persian]
- Ananda, J., & Herath, G. (2003). Soil erosion in developing countries: a socio-economic appraisal, *Journal of environmental management*, 68(4), 343-353.
- Arabkhedri, M., Shadfar, S., Jafari-Ardakani, A., Bayat, R., Khajavi, E., & Mahdian, M. H. (2018). Improving Water Erosion Estimates for Iran. *Watershed Management Research*, 31(120), 13-27. [In Persian]
- Bai, X., Zhao, W., Liu, H., Zhang, Y., Yang, Q., Liu, J., & Chang, X. (2023). Effects of precipitation changes and land-use alteration on stream flow: A comparative analysis from two adjacent catchments in the Qilian Mountains, arid northwestern China. *Frontiers in Environmental Science*, 11, 94.
- Borland, W. M., & Miller, C. R. (1971). River mechanics, Chapter, B29. Reservoir sedimentation, H. W. Shen, editor, Water Resources Publication, Fort Collins, Colorado, U.S.A.
- DeFries R, Eshleman N K. 2004. Land-use change and hydrologic processes: a major focus for the future. *Hydrological Processes*, 18(11): 2183–2186.
- Dysarz, T., Szalkiewicz, E., & Wicher-Dysarz, J. (2017). Long -term impact of sediment deposition and erosion on water surface profiles in the Ner River. *Water*, 9(168), 1 -14.
- Ebrahimi, E., Asadi, H., Joudi, M., Rashti, M. R., Farhangi, M. B., Ashrafzadeh, A., & Khodadadi, M. (2022a). Variation entry of sediment, organic matter and different forms of phosphorus and nitrogen in flood and normal events in the Anzali wetland. *Journal of Water and Climate Change*, 13(2), 434-450.
- Ebrahimi, E., Asadi, H., Rahmani, M., Farhangi, M. B., & Ashrafzadeh, A. (2022b). Effect of precipitation and sediment concentration on the loss of nitrogen and phosphorus in the Pasikhan River. *AQUA—Water Infrastructure, Ecosystems and Society*, 71(2), 211-228.
- Emamgholizadeh, S., Khademi, N., & Hosseini, S. H. (2020). Prediction of input sediment to the Shirin-Darreh dam Reservoir using HEC-RAS numerical model. *Journal of Watershed Management Research*, 11(21), 208-222. [In Persian]
- Farshadi, M. R., & Shafaei Bejestan, M. (2010). Estimation of sediment entrance to the Gotvand Olia dam reservoir using HEC -RAS 4.0 model, 2th National Conference on Water Resources Management, Shahid Bahonar University of Kerman, Kerman, Iran.
- Ghafari, G., Qodousi, J., & Ahmadi, H. (2010). Investigating the hydrological effects of land use change in catchment (case study: Zanjan River watershed). *Journal of water and soil Conservation*, 16(1), 163-180. [In Persian]
- Hakimkhani, S., Arab Khedri, M., Mahdavi, M., & Vali Khojini, A. D. (2000). Regional analysis of suspended sediment in Urmia lake basin, second conference on erosion and sedimentation, Khorramabad, Lorestan. [In Persian]
- Halabian, A., & Heydari, M. (2015). Estimation of sediment using the curve of sediment gauge and study of flow changes on it, *Geography*, 14(5), 193-218. [In Persian]
- Horowitz, A. J., (2002). The use of sediment rating curves for monitoring suspended sediment concentrations and fluxes: Issues of temporal resolution, estimation errors, and sampling frequency, *proceedings MTMIV*, U.S. Geological Survey, Peachtree Business Center, Suite 130, 3039 Amwiler Road, Atlanta, Ga 30360, USA.
- Ildoromi, A., Nouri, H., & Kazemi Barzideh, S. (2018). The effect of land use changes and drought on runoff of central Zagros Basin (Case study: Basin Tuyserkan). *Arid Regions Geographic Studies*, 8 (31), 3-42. [In Persian]
- Joshi, N., Lamichhane, G. R., Rahaman, M., Kalra, A., & Ahmad, S. (2019). Application of HEC -RAS to Study the Sediment Transport Characteristics of Maumee River in Ohio, *World Environmental and Water Resources Congress*. American Society of Civil Engineers, USA
- Lakzyanpour, Gh. H., Mohammad Rezapour, A., & Malmir, M. (2016). Evaluation of the effects of climate change on the amount of runoff of the Nazlu Chai River in the Urmia Lake Basin, *Geography and Development*, 42, 183-198. [In Persian]
- Leul, Y., Assen, M., Damene, S., & Legass, A. (2023). Effects of land-use dynamics on soil organic carbon and total nitrogen stock, Western Ethiopia. *Applied and Environmental Soil Science*, <https://doi.org/10.1155/2023/5080313>
- Malede, D.A., Alamirew, T., & Andualem, T.G. (2022). Integrated and individual impacts of land use land cover and climate changes on hydrological flows over Bir River Watershed, Abbay Basin, Ethiopia. *Water*, 15(1), 166.
- Mohammad, M. E., Al -Ansari, N., Issa, I., & Knutsson, S. (2016). Sediment in Mosul Dam reservoir using the HEC -RAS model. *Lakes Reservoirs: Research Management*, 21(3), 235-244.
- Sieber, A., Kuemmerle, T., Prishchepov, A.V., Kelly, J., Baumann, M., Volker, C.R., & Leonid, M.B. (2013). Landsatbased mapping of post-Soviet land use change to assess the effectiveness of the Oksky and Mordovsky protected areas in European Russia. *Article Remote Sensing of Environment*, 133, 38-51.
- Tadesse, A., & Dai, W. (2019). Prediction of sedimentation in reservoirs by combining catchment based model and stream based model with limited data. *International journal of sediment research*, 34(1), 27 -37
- Turner, M.G., Pearson, S.M., & Bolstad, P. (2003). Effects of land-cover change on spatial pattern of forest communities in the Southern Appalachian Mountains (USA). *Landscape Ecology*, 18(5), 449–464.

- Varwani, J., Najafinjad, A., & Mir Moeini Kohrorudi, A., (2017). modification of the sediment gauge curve using the least unbiased variance method. *Journal of Agricultural Sciences and Natural Resources*, 1(15), 150-16 [In Persian]
- Wang, H., Yang, Z., Saito, Y., Liu, J. P., Sun, X., & Wang, Y. (2007). Stepwise decreases of the Huanghe sediment load: Impacts of climate change and human activities. *Global and Planetary Change*, 57, 331- 354.
- Wang, Q., Liu, J., Wang, Y., Guan, J., Liu, Q., & Lv, D. (2012). Land use effects on soil quality along a native wetland to cropland chronosequence. *Journal of Soil Biology*, 53, 114-120.
- Water Industry Standards Committee Plan Sediment, (1989). How to calculate the amount of sediment accumulation in reservoirs and dams.
- Yu, H., & Song, W. (2023). Research progress on the impact of land use change on soil carbon sequestration. *Land*, 12(1), 213.

یادداشت ها

- ¹ *Arabkhedri*
² *Akbarzadeh*
³ *Farshadi and Shafaei Bejestan*
⁴ *Dysarz*
⁵ *Ghafari*
⁶ *Tadesse and Dai*
⁷ *Joshi*
⁸ *Ebrahimi*
⁹ *Ackers-White*
¹⁰ *Horowitz*
¹¹ *Hakimkhani*
¹² *Lakzyanpour*
¹³ *Ildoromi*
¹⁴ *Ghafari*
¹⁵ *Mohammad*
¹⁶ *Alami and Monazami Nwein*
¹⁷ *Emamgholizadeh*